

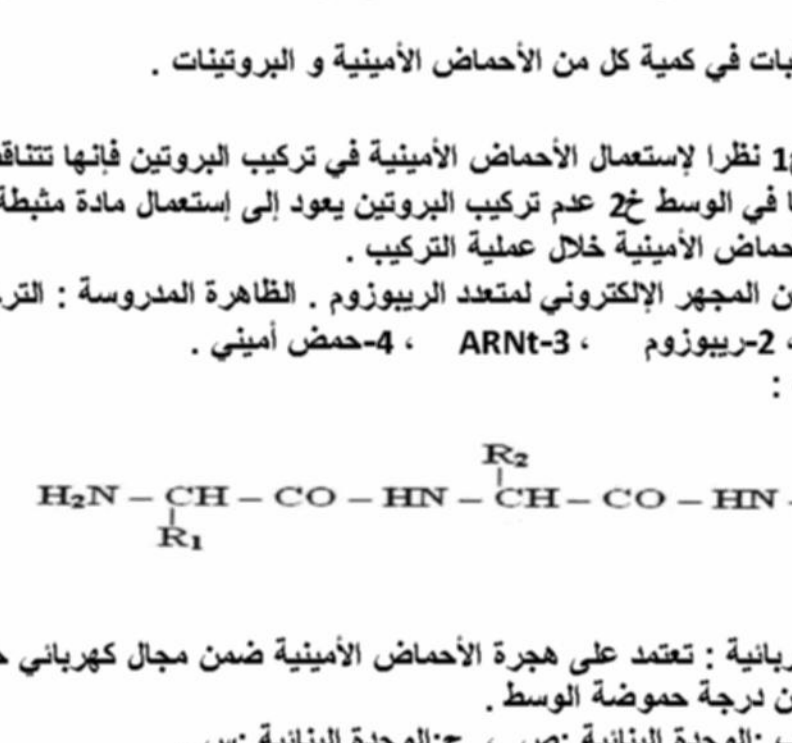
1-تفسير النتائج :
تعوق النشاط الجنوبي للأمسا بفسيـر بعدم قدرته على تـركـيب البروتـينات اللاـ

النواة يفسر بدخولها

الهيولى ، ARNm . -الظاهر ة

الإسنساج .

The diagram illustrates the flow of genetic information. At the top, a double helix of DNA is shown with arrows indicating its unwinding. Below it, a single-stranded mRNA molecule is transcribed from the DNA template. At the bottom, the mRNA strand is being translated by ribosomes into a polypeptide chain, represented by a series of boxes labeled 'بروتين' (protein).



A المسئول عن نقل ايد تركيب البروتين ، في وسط الحدي

$$\begin{array}{ccccccc}
 -\text{HN}-\underset{\substack{\text{CH}_2 \\ | \\ \text{COO}-}}{\text{CH}}-\text{CO}-\text{H} & \text{N}-\underset{\substack{\text{CH}_2 \\ | \\ \text{CH}-\text{CH}_3 \\ | \\ \text{CH}_3}}{\text{CH}}-\text{CO}-\text{H} & \text{N}-\underset{\substack{(\text{CH}_2)_4 \\ | \\ \text{NH}_3^+}}{\text{CH}}-\text{CO}- \\
 \end{array}$$

٥- خاصية الوحدات : أمفوتيرية ، حمقلية .
للتعرىن الثاني :
١- البيانات: ١- غليكوبروتين ، ٢- بروتين ضمني ، ٣- غликولبيد ، ٤- فوسفوليبيد (أقطاب محبة للماء).
لسطح أخارجي والسطح ب داخلي ، لوجود المجموعات السكرية جهة الوسط أ .
٢- مميزات الفضاء الهيولي : فسيفساني مانع (تنوع المكونات وقابلية حركة البروتينات خلال الطبقة
لفوسفوليبيدية).
٣- التجربة ٠١: قامت البالعة بمعاجمة الخلايا المقاومة لأنها لم تتمكن من التعزف عليها ، بسبب اتلاف

- التجربة 01: قامت البالغة بمهاجمة الخلايا المخاطبة لها تم تحمل من المفترس عليها، بسبب إدراك جزيئاتها الجليكوبروتينية بواسطة الإنزيم ولذا تعتبر جسماً غريباً.

- التجربة 02: لم تتم البلعمة لأن الخلايا البالغة تعرفت على المقاويات على أنها من الذات.

- التجربة 03: قامت البالغة ببلعمة المقاويات المنزوعة من فأر 2 لأنها قادرة على تمييز الخلايا الغريبة مهاجمتها.

٤-البيانات : ١-المضاد ، ٢-الجسم المضاد ، ٣-موقع تثبيت المستضد .

٥-يتشكل موقع تثبيت مولد الضد من نهاية الجزء المتغير لكل من السلسلة الخفيفة والسلسلة الثقيلة الذي يأخذ بنية فراغية موافقة للمستضد النوعي الذي حرض على إنتاج هذا الجسم المضاد .

٦-البيانات : ١-خلية لمفافية تانية سمية LTc ، ٢-خلية مصابة .

٧-الأليلة : تتعرف الخلية المفاوية التانية السمية على الخلية المصابة بواسطة المستقبلات الغشائية التي تتعرف على محدد مولد الضد وبواسطة CMH على CD .

للوسط 3: عدم تخريب الخلايا السرطانية لعدم قدرة $T4$ مع $IL2$ على تخريب الخلايا السرطانية .
 للوسط 2: تخريب الخلايا لأنه تم التعرف على الخلايا السرطانية من طرف $T4$ و $T9$ ، ومحاجمتها تخربها .
 للوسط 1: عدم تخريب الخلايا السرطانية في غشاء الخلية المصابة موزدية إلى تخربها وبالتالي إنحلال الخلية .

٢- تستجيب العضوية لهذا الفيروس وهو ما يسبب :

III. ١-البيانات : ١-طبقة فوسفوليبيدية (غلاف فيروسي) ، ٢-بروتين فيروسي m120 ، ٣-ARN فيروسي ، ٤-محفظة بروتينية ، ٥-إنزيم النسخ العكسي .

٤- على التحvier والتسيير إلى **LTC** المقررة لعدة البروتوتيرن المحرّب تحدّي .

ارتفاع في عدد ال T4 وإرتفاع كمية الأجسام المضادة للفيروس ويوافق ذلك إنخفاض سريع في سمنة الفيروس وظهور مجموعة من الأعراض كالتعب ، الحمى ، ...

3- يصبح الفرد موجب المصل اعتبارا من السنة الأولى التي تلي الإصابة لإرتفاع كمية الأجسام لمضادة للفيروس في المصل .

٤- الفقدان الكلى للمناعة ناتج عن التناقص الحاد للخلايا T4 والتي تمثل الخلية المحورية في كل الاستجابات المناعية النوعية (وبالتالي الإستعداد لتقبل كل الأمراض).

٥- إن تكاثر الفيروس يتطلب الخلية المقاوية T4 وإنزيم النسخ العكسي لذلك يعتبر من الفيروسات لراجعة ، فنتيجة التكامل البنوي بين p120 و CD4 يتم تحرير ال ARN الفيروسي وإنزيم نسخ العكسي بعد اندماج الأغشية الخلوية . ثم يتم استنساخ ال ARN إلى ADN فيروسي الذي

لتمرين الثالث:
1-العضية B هي لميتوكندري .

الرسم التخطيطي : 2

أقسام الماء الأساسية في الخلية:

- غشاء خارجي
- غشاء داخل
- الفراغ ما بين الغشاءين
- عرف
- المادة الأساسية

The diagram illustrates the ultrastructure of a mitochondrion. It features a large, central, yellow-colored matrix containing several small, dark red dots representing ribosomes. The inner membrane is depicted as a complex, folded structure with various labels pointing to its features. A legend on the right side provides the following translations:

- ريبوzومات (Ribosomes)
- متعدد ريبوزومات (Multiple ribosomes)
- كريات مذنبة (Whiplash vesicles)
- حبيبة إدخارية (Exterior vesicle)
- Mito كوندري DNA (Mitochondrial DNA)

تفسير تخطيطي لما فوق بنية الميتوكوندري

٣-٥- نستنتج أن مادة الأيض المستعملة من طرف الميتوكندري هي حمض البيروفيك .
تحليل النتائج:

٤) t₄: يختفي الإشعاع من الوسط B ويزداد في وسط الزرع فيه CO_2 .

٣) t₃: يختفي الإشعاع من حمض البيروفيك في الوسط A، ويزداد في الوسط B. مع ظهور الإشعاع في وسط الزرع في CO_2 .

٢) t₂: يختفي الإشعاع في الغلوكوز ويظهر في حمض البيروفيك في الوسط A والوسط B.

ن 4- د: تتناقص كمية ال ATP وتزداد كمية الفركتوز ثانى الفوسفات .

ن 4- د: تزداد كمية ال ATP مع زيادة كمية الفركتوز ثانى الفوسفات لتصل كمية الفركتوز ثانى

ـتحليل : يمثل المنحنى تطور كمية الفركتوز ثانى الفوسفات ونسبة ATP بدلالة الزمن .

الاستنتاج : يتحول الغلوكوز في الهيولى إلى حمض البيروفيك ، الذي يتفكك على مستوى الميتوكندري لـ CO_2 .

لتفسير : خلال عملية التحلل السكري ، تتم عملية فسفرة الغلوكوز إلى فركتوز ثانى الفوسفات بامانه 2ATP لكل جزيءة غلوكوز ، وهو ما يفسر تناقص ال ATP من جهة و تزايد فركتوز ثانى الفوسفات من جهة اخرى .

$$2\text{CH}_3 - \text{CO} - \text{COOH} + 2\text{CoA-SH} \xrightarrow{2\text{NAD}^+} 2(\text{CO}_2) + 2\text{CH}_3 - \text{CO} - \text{S-CoA} + 2\text{NADH.H}_2\text{O}$$

The diagram illustrates the Citric Acid Cycle (Krebs Cycle) step where Acetyl CoA reacts with Oxaloacetate to form Citrate. The reaction is catalyzed by Citrate Synthase. The cycle is shown in a clockwise direction.

Inputs:

- Acetyl CoA
- Oxaloacetate
- GTP → ATP

Products:

- Citrate
- CoA
- ATP

Enzyme: Citrate Synthase

The diagram illustrates the Citric Acid Cycle (Krebs Cycle) as follows:

- Initial Step (1):** A 6C dicarboxylic acid (represented by a horizontal line) reacts with a 4C dicarboxylic acid (represented by a curved line) to produce two 4C dicarboxylic acids.
- Reduction (2):** One 4C dicarboxylic acid is reduced by NAD^+ to form NADH, H^+ and CO_2 .
- Oxidation (3):** The other 4C dicarboxylic acid is oxidized by NAD^+ to form NADH .
- Reduction (4):** The NADH from step (3) reduces another NAD^+ to NADH, H^+ .
- Reduction (5):** The NADH, H^+ from step (4) reduces a third NAD^+ to NADH .
- Reduction (6):** The NADH from step (5) reduces a fourth NAD^+ to NADH, H^+ .
- Reduction (7):** The NADH, H^+ from step (6) reduces the final NAD^+ to NADH .

تجربة 4: التحليل المقارن :
عند إضافة الأمونيوم إلى ماء تكوّن السترات بسرعة من افق. تأكّل تشكيل الـ ATP .

وجود الأوكسجين يسبب تحرير البروتونات الذي ينتج عنه تركيب الـ ATP .

٣-الرسم التخطيطي:

The diagram illustrates the mitochondrial electron transport chain across the inner mitochondrial membrane. On the left, the **نفاثة بين القنوات** (space between channels) is labeled. The **الكتلة الداخلي** (inner mass) contains the **تستيتوكوندري** (testiteochondri). On the right, the **معض معكرونة** (matrix) contains the **الإكترونات** (electrons). The electron flow starts from **NADH + H⁺** at the **T₁** complex, passes through **T**, **T₂**, and **T₃** complexes, and enters the **F₁** complex where **ATP** is synthesized from **ADP + P_i**. The **2 H⁺ + 1/2 O₂** reaction at **T₃** results in the formation of **H₂O**. Labels include: نفاثة بين القنوات, الكنية الداخلي, تستيتوكوندري, معض معكرونة, الإكترونات, NADH + H⁺, T₁, T, T₂, T₃, F₁, ATP, ADP + P_i, 2 H⁺ + 1/2 O₂, H₂O, مستقبل الإلكترونات.